



زمین شیمی، کانی‌سازی و دگرسانی مس پورفیری در منطقه گروه، ساردوئیه (استان کرمان) با نگرشی به نبود پهنه سوپرژن

سیده نرگس ساداتی^۱، محمد جلالی خلیل آبادی^۲، محمد یزدی^۲، آیدا محبی^۳

۱- گروه زمین شناسی، دانشکده علوم، دانشگاه محقق اردبیلی، اردبیل، ایران

۲- گروه زمین شناسی، دانشکده علوم زمین، دانشگاه شهید بهشتی، تهران، ایران

۳- سازمان زمین شناسی و اکتشافات معدنی کشور، تهران، ایران

(دریافت مقاله: ۹۸/۳/۲۰، نسخه نهایی: ۹۸/۷/۲۹)

چکیده: منطقه اکتشافی گروه در ۱۹ کیلومتری شمال شهر ساردوئیه در استان کرمان واقع است. واحدهای سنگ‌شناسی اصلی در این منطقه از قدیم به جدید عبارتند از واحدهای آتشفسانی اثوسن شامل آندزیت و آندزی بازالت و واحدهای نفوذی الیگومیوسن شامل دیوریت، کوارتز دیوریت و گرانودیوریت و واحدهای آذرآواری شامل توف و برش هستند. دگرسانی در منطقه گروه به دلیل نفوذ توده‌های نفوذی به درون سنگ‌های آتشفسانی از گسترش چشم‌گیری برخوردار است. دگرسانی‌های عمدۀ منطقه پروپلیتی، فیلیک و تا حدودی پتاسیمی هستند. کانه‌های مس‌دار (کالکوپیریت و مالاکیت) در رخنمون کوچکی از واحد گرانودیوریت پورفیری در شمال شرقی منطقه دیده می‌شوند. بررسی‌های زمین شیمیایی و نمودارهای محیط زمین‌ساختی نشان داد که سری ماقمایی این سنگ‌ها در گستره آهکی قلیابی قرار دارد و متألمین تا پرآلومین ضعیف بوده و از گرانیتوئیدهای نوع I هستند. کانی‌سازی فقط در بخش درونزد دیده می‌شود و شواهد پهنه سوپرژن بسیار ضعیف است. حضور دگرسانی پتاسیمی در سطح و همچنین پستی و بلندی خشن ناحیه نشان دهنده بالاًمدگی و فرسایش شدید منطقه است که به احتمال بسیار باعث انتقال مس به مناطق پایین دست شده است.

واژه‌های کلیدی: گروه؛ ساردوئیه؛ دگرسانی درونزد؛ دگرسانی سوپرژن؛ کانی‌سازی مس.

(مجموعه هزار) تشکیل می‌دهد [۵، ۶]. فعالیت‌های آذرین نفوذی با سطح جایگزینی ژرف که از اثوسن میانی در کمان ماقمایی آغاز شده بود باشد بسیار در بیشتر نواحی کمان همراه با فعالیت‌های آتشفسانی اثوسن میانی - پایانی و الیگوسن میانی (مجموعه هزار) و حتی پس از خاموشی فعالیت آتشفسانی (الیگوسن میانی) تا پایان الیگوسن ادامه یافت. به این ترتیب، یک گستره خطی از توده آذرین نفوذی عمیق در نواحی جنوب شرقی تا مرکزی کمان ماقمایی شکل گرفت [۷، ۸]. با این نفوذی‌های متعدد و پیاپی، مجموعه آتشفسانی- رسوبی قدیمی‌تر دستخوش چین‌خوردگی، گسلش، تخریب و فرسایش شدن و در حوضه رسوبی الیگومیوسن، رسوب‌های

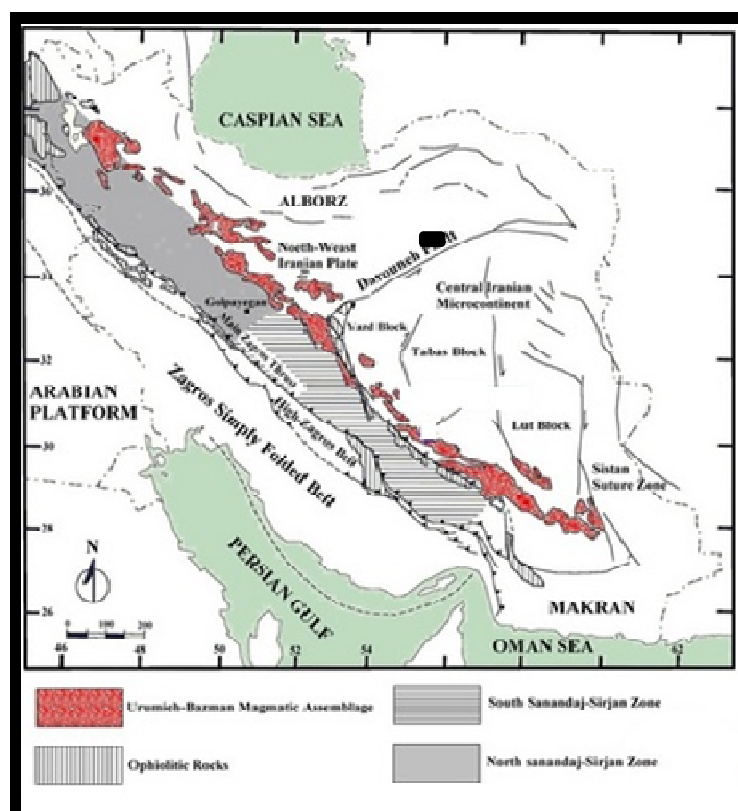
مقدمه

نوار دهچ - ساردوئیه که نهشته گروه در آن قرار دارد، بخشی از کمریند آتشفسانی- نفوذی ارومیه - دختر است (شکل ۱). در این کمریند، بیش از ۲۰۰ کانسار و نهشته معدنی شناخته شده است [۳-۱]. از مهم‌ترین کانسارها می‌توان به سرچشمه و میدوک اشاره کرد و از نهشته‌های معدنی موجود می‌توان به سرمشک، هنزا، بندر هنزا، سوراخ مار و گروه اشاره کرد [۴].

مهمنترین و گستردترین واحدهای زمین‌شناسی این نوار را سنگ‌های آتشفسانی اثوسن پیشین - میانی (مجموعه بحر آسمان) و اثوسن میانی- پسین (مجموعه رازک) همراه با میان لایه‌های رسوبی و سنگ‌های آتشفسانی الیگوسن

وابسته به پلیو - کواترنر آخرین نمودهای فعالیتهای آتشفشاری در کمان ماقمایی کرمان بودند که به صورت بسیار محدود در برخی از نواحی کمان ماقمایی رخ داده‌اند [۶]. نهشته معدنی گروه در شیب‌های شرقی کوه هنزا و حدود ۸ کیلومتری روستای گروه قرار دارد. توده دیوریتی بزرگی در منطقه‌ای به مساحت ۳ کیلومترمربع در سنگ‌های آتشفشاری و آذراواری نفوذ کرده است و همه به وسیله‌ی تعداد بسیاری دایک میکرودیوریتی قطع شده‌اند. یک پهنه دگرسانی گرمابی با مساحت ۸۰۰ در ۷۰۰ متر مربع در توده نفوذی گسترش یافته است. سیلیسی شدن به طور گستردگی دیده می‌شود، آرژیلی شدن در جنوب شرق منطقه و اپیدوتی شدن در سراسر منطقه وجود دارد. یک پهنه گسله به طول ۱۰ کیلومتر از درون توده تا درون سنگ‌های آتشفشاری به سمت شرق گسترش یافته است که در آن مالاکیت و کالکوپیریت به طور موضعی یافت می‌شود [۴]. هدف از این پژوهش بررسی عوامل کنترل کننده‌ی تشکیل و تعیین نوع کانه‌زایی مس در این نهشته است و افزون بر بررسی زمین‌شناسی، به شناسایی هاله‌های دگرسانی و تشریح کانی‌شناسی نوع‌های مختلف دگرسانی گرمابی و شیوه کانی‌سازی در توده پوروفیری پرداخته می‌شود.

تشکیلات قرمز زیرین، تشکیلات قرمز فوقانی بر جای گذاشته شده‌اند. پس از خروج این نواحی از آب و برقراری شرایط خشکی‌زایی از ابتدای میوسن، فعالیت گسترده‌ی آذرین نفوذی در کمان طی دوره میوسن میانی تا پایانی جای خود را به توده گرانیتوئیدی در اندازه استوک و کوچک‌تر داد. آنها تا سطوح کم عمق پوسته نفوذ کرده و بیشتر در بخش‌های مرکزی و شمال غربی کمان جایگزین شدند و به این ترتیب توده‌های گرانیتوئیدی کوه پنج را بدون حضور واحدهای مافیک در گستره کمان شکل دادند [۹، ۱۰]. در زمان میوسن میانی - پلیوسن، کمان ماقمایی به ویژه در بخش مرکزی تا شمال غرب با نفوذ گسترده توده‌های شبه آتشفشاری نوع دهچ و فعالیت‌های بسیار محدود آتشفشاری نوع مزاحم و آج در چهره دو آتشفشار چینه‌ای و چند مخروط بیشتر با ترکیب آندزیت، داسیت، ریوداسیت و ریولیت اما بدون واحدهای مافیک را باعث شد [۱۰]. در مراحل پایانی تکامل کمان ماقمایی، بالازدگی کمان به ویژه در بخش‌های مرکزی تا شمال غربی و فرسایش مناطق بالا زده باعث بر جای ماندن رسوب‌های تخریبی ضخیم فلیش گونه بادیزبزی شکل در زمان پلیوسن در جوار این بالازدگی شد [۱۱، ۱۲]. فعالیت آتشفشاری مافیک قلایی



شکل ۱ جایگاه جغرافیایی منطقه مورد بررسی در پهنه ارومیه دختر در جنوب شرق ایران بر نقشه ساختاری ایران.

بررسی گردید. سپس، تعداد ۷ نمونه با کمترین دگرسانی و هوازدگی، برای بررسی‌های زمین‌شیمیایی انتخاب شدند. این نمونه‌ها از واحدهای آتش‌فشاری (۴ نمونه) و واحدهای نفوذی (۳ نمونه) برداشت شدند. عناصر اصلی نمونه‌ها با طیفسنج فلئورسانس پرتوی X (XRF) و عناصر کمیاب نمونه‌ها با طیفسنج جرمی پلاسمای جفت شده القایی (ICP-MS) در شرکت ملی صنایع مس ایران (مجتمع مس سرچشمہ) تجزیه شدند (جدول‌های ۱-۴).

روش بررسی

برای تفکیک واحدهای زمین‌شناسی، پنهانهای دگرسانی و شناسایی واحدهای زمین‌شناسی مولد کانه‌زایی، نمونه‌برداری از مناطق دگرسانی موجود در منطقه به روش خرد سنجی انجام شد و تعداد ۱۴ مقطع نازک از سنگ‌های منطقه و ۵ مقطع صیقلی از کانه‌های فلزدار تهیه گردید، همچنین تعداد ۳۸ مقطع نازک از چهار گمانه حفاری توسط شرکت ملی صنایع مس ایران تهیه شد و برای شناسایی پنهانهای دگرسانی و تشخیص کانه‌های فلزی به وسیله میکروسکوپ نوری بازتابی

جدول ۱ نتایج تجزیه زمین‌شیمیایی اکسیدهای اصلی در منطقه گروه (عيار عناصر به صورت درصد گزارش شده است).

Sample.No	LOI	SO ₃	Cl	P ₂ O ₅	MnO	TiO ₂	MgO	Cr ₂ O ₃	SrO	K ₂ O	Na ₂ O	CaO	Fe ₂ O ₃	Al ₂ O ₃	SiO ₂
ZGNF.4	۰,۱	۰	۰,۰۱	۰,۲	۰	۰,۶	۲,۱	۰,۰۲	۰	۱,۴	۴,۶	۵	۵,۲	۱۶,۶	۶۳,۷
ZGNF.6	۰,۱	۰	۰,۰۵	۰,۲	۰,۱	۰,۹	۳,۹	۰,۰۷	۰	۰,۷	۳,۴	۷,۹	۹,۷	۱۷,۴	۵۴,۹
ZGNF.8	۰,۱	۰	۰,۰۴	۰,۲	۰,۲	۰,۹	۴,۳	۰,۰۱	۰	۱,۱	۳	۷	۸,۹	۱۶,۴	۵۷,۲
ZGNF.24	۲,۳	۰,۱	۰	۰,۱	۰,۲	۰,۴۵	۲,۱	۰	۰,۱	۲,۱	۳,۲۰	۴,۵	۵,۶	۱۶,۱	۶۳,۶
ZGNF.33	۱,۶	۰,۱	۰	۰,۱	۰,۱	۰,۷	۲,۸	۰	۰,۱	۱,۲	۳,۵	۵,۶	۷,۹	۱۶,۵	۵۹,۵
ZGNF.38	۲	۰	۰	۰,۲	۰,۱	۱,۳	۲,۴	۰	۰	۱,۳	۳,۵	۴,۱	۱۳,۵	۱۵,۳	۵۶,۶
ZGNF.58	۰,۶	۰	۰	۰,۱	۰	۰,۳	۰,۷	۰	۰	۲,۳	۴	۲,۶	۲,۷	۱۴,۷	۷۲,۳

جدول ۲ نتایج واحدهای سنگی منطقه گروه تجزیه به روش ICP-MS

Sample.NO	Rock Unit	Au	Cu	Mo	Bi	As	Sb	Pb	Zn
		(ppb)	(ppm)						
ZGNF.10	Volcanic	۱	۳۵	۳,۶	۰,۴۱	۷,۳	۱,۴	۵	۱۱
ZGNF.27	Volcanic	۱	۳۳	۲,۲	۰,۲۲	۴,۲	۰,۵	۲۵	۳۱
ZGNF.35	Volcanic	۱	۱۰	۲,۷	۰,۶۲	۰,۵	۰,۵	۳۷	۱۱
ZGNF.40	Volcanic	۱	۲۶	۴,۸	۰,۳۵	۱۶,۹	۱	۷	۱۲
ZGNF.42	Volcanic	۱	۹۰	۶,۴	۰,۴۵	۳,۶	۰,۵	۷	۲۵
ZGNF.49	Volcanic	۱	۳۰	۱,۹	۰,۳۵	۶,۸	۱,۳	۶	۱۰
ZGNF.51	Volcanic	۱	۶۴	۱,۸	۰,۵۷	۱,۸	۱,۱	۱۲	۵۵
ZGNF.55	Volcanic	۱	۳۳	۴,۸	۰,۲۶	۶,۶	۱	۷	۱۳۰
ZGNF.30	Volcanic	۳	۱۵۵۹۶	۷	۰,۲۸	۱۰,۱	۱۶	۲۷	۵۰,۶
ZGNF.17	Plutonic	۱۰	۴۷۷۹	۱۴,۱	۰,۲۳	۰,۷	۰,۵	۱	۲۹۰

جدول ۳ ویژگی‌ها و نتایج تجزیه زمین‌شیمیایی چهار گمانه‌حفاری منطقه گروه (آهن و مس بر حسب درصد و مولبیدن، سرب و روی بر حسب .(ppm

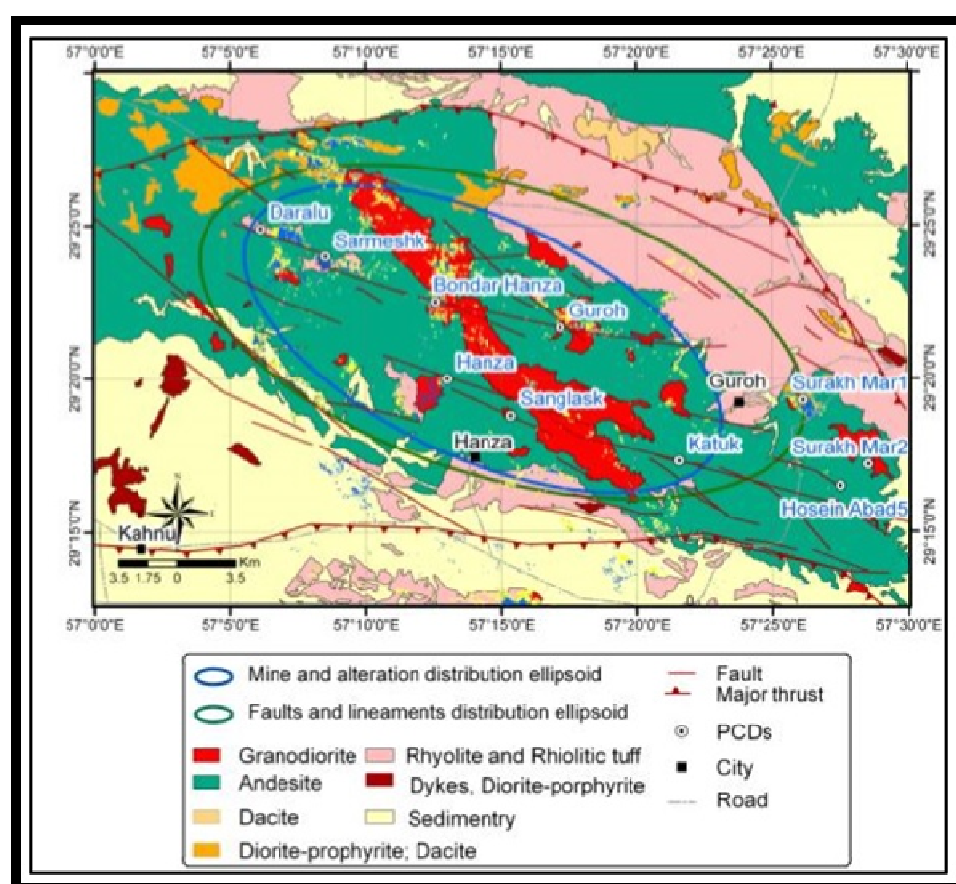
گمانه	عمق	سنگ درونگی	بافت	دگرسانی	زنون	MAX Cu	MID Cu	MAX Fe	MID Fe	MAX Mo	MID Mo	MAX Pb	MID Pb	MAX Zn	MID Zn
GOH.1	۵۶-۲۸	دیوریت	پورفیری	پتاسیک، پروپیلی‌تیک	هیپوژن	۰,۲	۰,۰۴	۸,۷	۴,۹	۷۸	۴,۵	۱۵۱۸	۴۸,۴	۱۱۷۱	۱۴۰,۱
GOH.2	-۳۱۸ ۲۲۰	دیوریت	پورفیری	پتاسیک، فلیک	هیپوژن	۰,۵۵	۰,۰۷	۸,۵	۵,۲	۳۶۴۶	۱۵,۷	۱۹۳	۱۶,۳	۱۳۰,۶	
GOH.3	-۲۵۶ ۲۵۸	گرانودیوریت	پورفیری	پتاسیک، پروپیلی‌تیک	هیپوژن	۰,۲۲	۰,۰۸	۸,۳	۴,۷	۲۵۰,۱	۱۵,۱	-	-	۱۲۵۴	۱۱۲,۸
GOH.4	-۱۴۶ ۱۴۸	گرانودیوریت	پورفیری	پتاسیک، پروپیلی‌تیک	هیپوژن	۱,۲	۰,۱۳	۱۷,۲	۷,۳	۸۳۴,۴	۲۰,۷	-	-	-	-

جدول ۴ ویژگی‌های گمانه‌های GOH.1, GOH.2, GOH.3, GOH.4

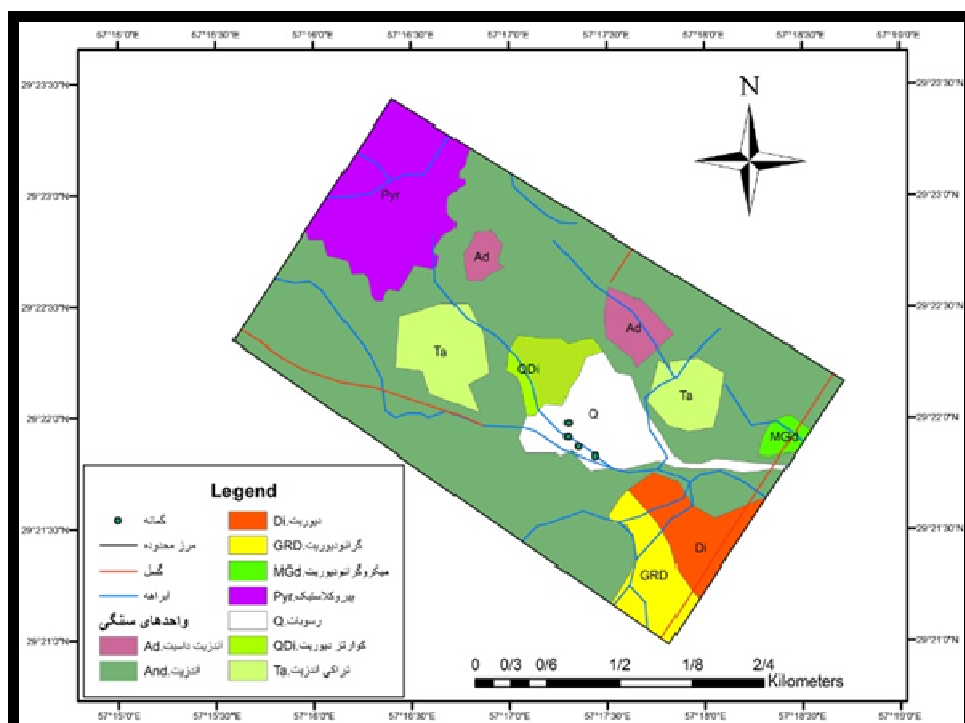
گمانه	نمونه	عمق	سنگ درونگیر	بافت	دگرسانی	دگرسانی
GOH.1	۱-۶	۱۴-۲۷۲,۲	دبوریت	پورفیری	پتاسیمی	پروپلیتی
	۷-۸	۲۹۶-۳۵۸,۵	گرانودبوریت	گرانودبوریت	پتاسیمی	پروپلیتی
	۹	۴۲۲,۸	دبوریت	پورفیری	پتاسیمی	پروپلیتی
	۱۰	۴۸۸	گرانودبوریت	گرانودبوریت	پتاسیمی	پروپلیتی
GOH.2	۱-۳	۲۴-۹۹,۹	دبوریت	پورفیری	پتاسیمی-فیلیک	فیلیک-آرژیلیک
	۴	۱۹۸	کوارتزدبوریت	گرانودبوریت	پتاسیمی	پورفیری
	۵-۶	۲۲۷-۲۵۳,۴	دبوریت	پورفیری	پتاسیمی-فیلیک	فیلیک
	۷-۸	۳۰۶,۹-۳۶۵	گرانودبوریت	گرانودبوریت	پتاسیمی-فیلیک	
	۹-۱۰	۴۲۳-۴۷۸	دبوریت	پورفیری	پتاسیمی-فیلیک	
GOH.3	۱۱	۴۹۱,۹	گرانودبوریت	گرانودبوریت	پتاسیمی	
	۱	۹,۵	دبوریت	پورفیری	پتاسیمی	فیلیک
	۲-۶	۸۹,۵-۲۵۴,۵	گرانودبوریت	گرانودبوریت	پتاسیمی	فیلیک
GOH.4	۷-۱۱	۲۷۸,۵-۵۰۲,۷	گرانودبوریت	گرانودبوریت	پتاسیمی	فیلیک
	۱	۱۱,۵	دبوریت	پورفیری	پتاسیمی	فیلیک
	۲	۱۲۹	گرانودبوریت	گرانودبوریت	پتاسیمی	فیلیک
	۳	۱۹۱	دبوریت	پورفیری	پتاسیمی	فیلیک
GOH.4	۴-۶	۲۷۹-۴۹۸,۵	گرانودبوریت	گرانودبوریت	پتاسیمی	فیلیک

بارز) قرار دارد. در منطقه، گروه واحدهای سنگی اصلی شامل سنگ‌های آذرین خروجی، درونی و آذرآواری است. رخنمون واحدهای سنگی در این منطقه متوسط است و با حرکت از مرکز منطقه به طرف شمال غرب، جنوب شرق و شرق منطقه بر میزان رخنمون‌های سنگی در مقایسه با واحدهای پوشیده افزوده می‌شود (شکل ۳). بر اساس نقشه‌های زمین‌شناسی موجود، سن واحدهای آتشفسانی - آذرآواری در این منطقه ائوسن است. این واحدها قدیمی‌ترین واحدهای سنگی منطقه هستند. مجموعه سنگ‌های این واحد به صورت هاله‌ای تقریباً پیوسته پیرامون واحدهای نفوذی جوانتر منطقه قرار دارند. در بخش مرکزی این منطقه، به دلیل عملکرد فرایندهای دگرسانی و فرسایش بخش عمدت از واحدهای سنگی توسط پوشش سطحی خاک و واریزهای خود واحد پوشیده شده‌اند. ریختار واحدهای آتشفسانی - آذرآواری خشن و صخره‌ای است، در حالی که واحدهای نفوذی ریختار به نسبت ملايم‌تری دارند و به صورت گنبدهای ملايم دیده می‌شوند (شکل ۴).

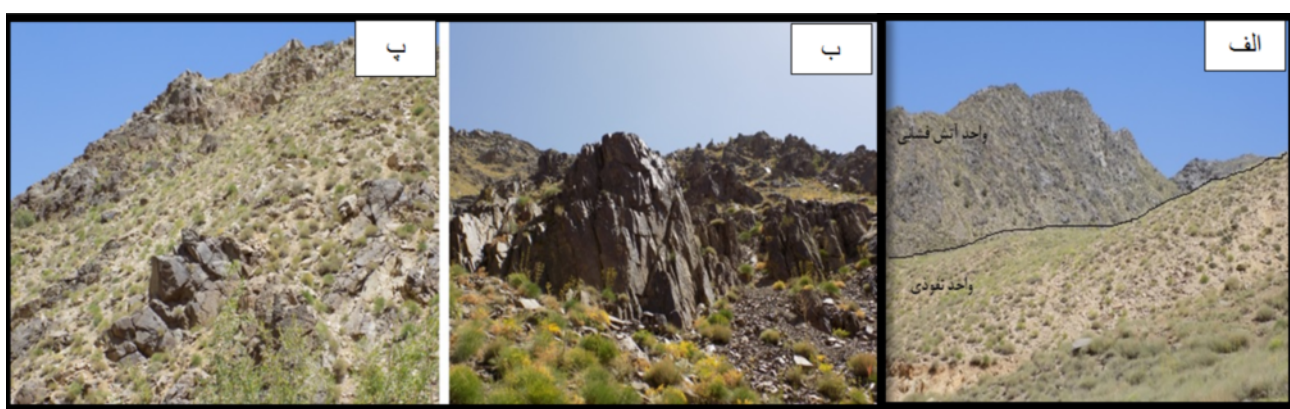
جايگاه زمين‌شناسي
منطقه اكتشافي گروه از نظر تقسيم‌های كشوری در استان كرمان واقع است (شکل ۱). نزديک‌ترین شهر به منطقه مورد بررسی ساردوئيه است که در ۱۹ کيلومتری جنوب غرب منطقه قرار دارد. فاصله نهشته معدني گروه تا مرکز استان حدود ۹۵ كيلومتر است. نهشته گروه در ۹ کيلومتری روستاي گروه قرار دارد (شکل ۲). اين نهشته معدني در گستره ۱/۲۵۰۰۰ زمين-شناسي به و در گستره ۱/۱۰۰۰۰ زمين‌شناسي ساردوئيه واقع است. اين منطقه از نظر جايگاه زمين‌ساختی در پهنه ايران مرکزي، كمربند اروميه - دختر، نوار دهچ - ساردوئيه و در راستاي كوههای درب بهشت و هنزا قرار دارد. از نظر زمين-ساختی، اين منطقه نيز مانند ساير بخش‌های كمربند اروميه - دختر فعل بوده و عملکرد گسل‌ها و شکستگی‌ها در واحدهای سنگی منطقه مورد بررسی آشکارا مشهود است.
منطقه گروه بر اساس تقسيم‌های ایالت‌ها و مناطق فلز‌ايي معدني ايران در كمربند فلز- زايدی كرمان (پهنه اكتشافي جبال



شکل ۲ نقشه زمین شناسی کوه هنزا که منطقه گروه در آن واقع است.



شکل ۳ نقشه ساده زمین شناسی نهشته مس پورفیری گروه



شکل ۴ الف: ریختار صخره‌ای واحدهای آتش فشانی در کنار ریختار تپه ماهوری تا نیمه صخره‌ای واحدهای نفوذی، ب و پ: واحدهای آتش فشانی جوانتر منطقه که به صورت دایک نمایان شده‌اند.

گیری اشباع‌شده‌گی آلومینیوم واحدهای سنگی منطقه گروه استفاده شد.

رده‌بندی سنگ‌های آتشفشاری منطقه گروه، بر پایه نمودار مجموع قلیایی‌ها ($\text{Na}_2\text{O} + \text{K}_2\text{O}$) نسبت به SiO_2 (TAS) انجام شد. بر اساس این نمودار (شکل ۶ الف)، نمونه‌های منطقه در گستره‌های داسیت، آندزیت و آندزیت بازالت قرار دارند. برای رده‌بندی سنگ‌های نفوذی، نمودار [۱۲] استفاده شد. بر این اساس، نمونه‌های منطقه در گستره‌های گرانوڈیوریت، کوارتز دیوریت و توپالیت قرار دارند (شکل ۶ ب).

برای تعیین سری ماقمایی از نمودار [۱۴] استفاده شد. در نمودار قلیایی‌ها نسبت به سیلیس، همه نمونه‌ها در گستره نیمه قلیایی قرار دارند (شکل ۶ پ). در نمودار AFM، همه نمونه‌های برداشت شده جز یک نمونه که به علت بالا بودن درصد Fe_2O_3 در گستره تولئیتی قرار گرفت، آهکی قلیایی بودند (شکل ۵ ت). بر اساس نمودار چاپ و وايت [۱۵] گرانیتوئیدهای این ناحیه از نوع I هستند (شکل ۵ ث). در نمودار مانیار و پیکولی [۱۶] که نمونه‌ها از نظر شاخص اشباع بودن از آلومینیوم بررسی شده‌اند، نمونه‌های NF.4, NF.6, Mta-Alumin و نمونه NF.58 پر آلومین ضعیف هستند (شکل ۶ ج).

زمین شیمی عناصر کمیاب در سنگ میزبان

نتایج زمین شیمی این پهنه‌های شامل کانی‌سازی از ۱۰ نمونه سنگی برداشت شده در جدول ۲ آورده شده است، چنان که دیده می‌شود، مقدار عناصر کمیاب و به ویژه مس در واحدهای

ترکیب سنگ‌شناسی مجموعه آتشفشاری شامل آندزیت و آندزی بازالت، آندزی تراکیت، داسیت، توف و برش است (شکل‌های ۵ الف، ث). واحدهای نفوذی با سن زمین‌شناسی جوانتر و به احتمال بسیار بیکار ایگومیوسن در این واحدهای آتشفشاری تزریق شده‌اند. از نظر ترکیب، سنگ‌های این مجموعه شامل دیوریت، کوارتز دیوریت، گرانوڈیوریت و میکروگرانوڈیوریت هستند (شکل‌های ۵ ح و خ). واحدهای کواترنری به صورت پادگانه‌های آبرفتی و رسوب‌های عهد حاضر رودخانه‌ای هستند و بیشتر در راستای رودخانه اصلی منطقه و موازی آن کشیده شده‌اند. در این منطقه، رخمنون سنگ‌های آتشفشاری نسبت به سنگ‌های درونی بیشتر است و همچنین سنگ‌های آذرآواری گسترش خوبی در منطقه دارند. چنان که بیشتر بیان شد، این منطقه یک منطقه یک‌کاملاً کوه‌هستانی است که می‌توان آن را به دو قسمت شمالی و جنوبی تقسیم کرد. در بخش شمالی منطقه، تنها در یک ناحیه بسیار کوچک در شمال شرقی که در آنجا کانی‌سازی رخ داده است، شاهد حضور واحدهای نفوذی هستیم و در بقیه مناطق شمالی، واحدهای آتشفشاری رخمنون دارند. در بخش جنوب منطقه، سنگ‌های درونی و در بقیه مناطق جنوبی سنگ‌های آتشفشاری رخمنون دارند.

بحث و بررسی

زمین شیمی عناصر اصلی

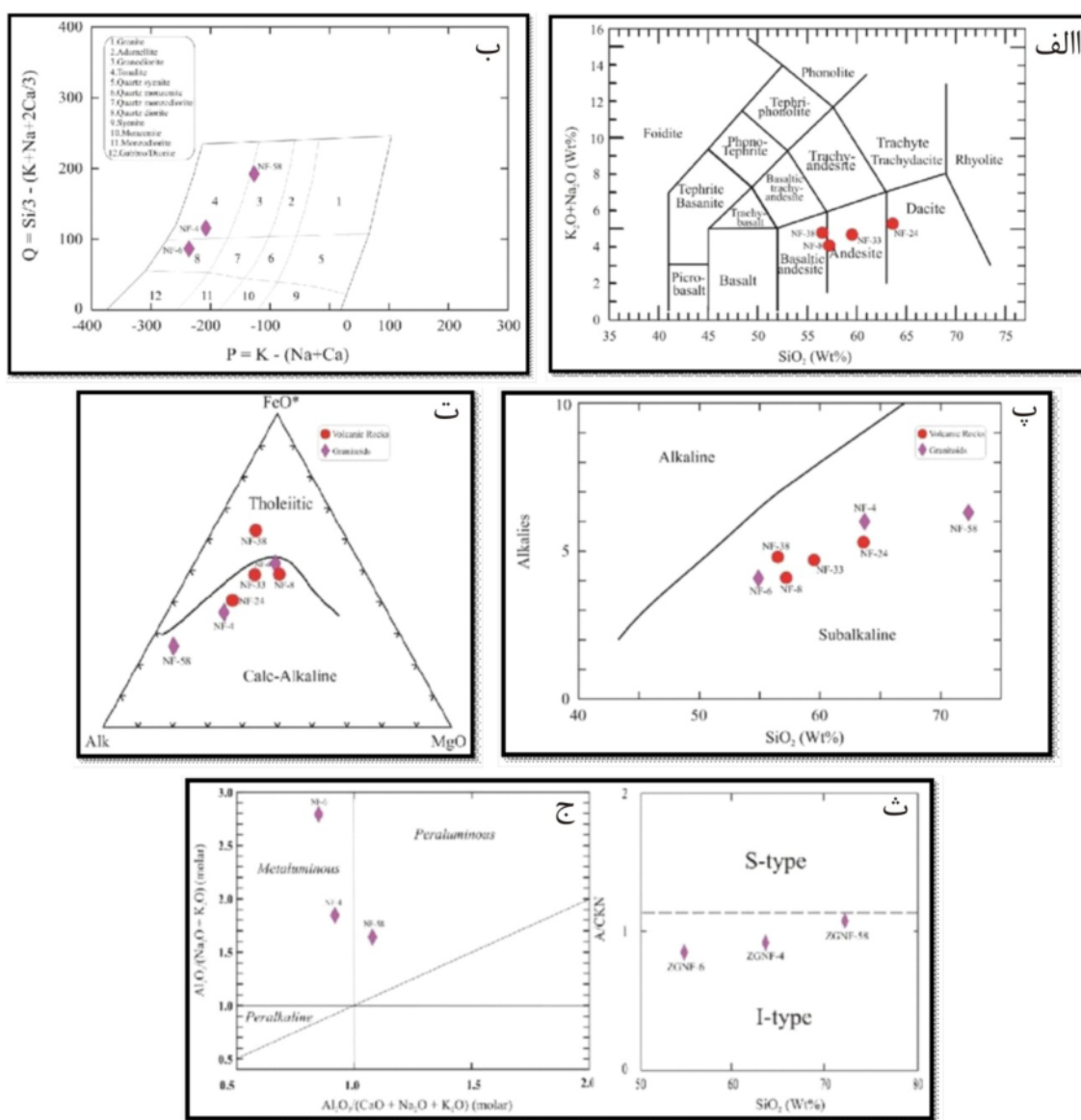
از داده‌های اکسیدهای اصلی سنگ (جدول ۱)، برای نام‌گذاری سنگ، تعیین سری ماقمایی، تعیین نوع گرانیتوئید و آندزه-

گرانودیوریت پورفیری به صورت استوک کوچک و در بخش کوچکی از انتهای شمال شرق منطقه گروه است. گسترش دگرسانی و زمین ساخته بودن این واحد نیز از شدت چشمگیری برخوردار است، به طوری که تشخیص نوع سنگ در مقطع نازک را نیز دچار مشکل کرده است. در نمونه ZGNF.17 که از این واحد برداشته شده است، عنصر مس غنی‌شدگی نسبی (4779 ppm) نشان می‌دهد (جدول ۲).

آتشفسانی از اهمیت چندانی برخوردار نیست و میانگین مس و سایر عناصر کمیاب در نمونه‌های برداشت شده از این واحدها بسیار پایین است (جدول ۲). نمونه دیگر از کانی‌سازی در دایک‌های آتشفسانی جوان رخ داده است (نمونه ZGNF.30)، کانی‌سازی در این نمونه نیز با وجود بالا بودن نسبی عیار مس (15596 ppm) از اهمیت چندانی برخوردار نیست (جدول ۲) زیرا سازوکار این کانی‌سازی به صورت اولیه و ناشی از بالا بودن مقدار مس در مگماهای اولیه است. رخنمون واحد (میکرو)



شکل ۵ نمایی از رخنمون واحدهای آذرین در مقیاس مشاهدات صحرایی: الف: آندزیت، ب) تراکی آندزیت، پ) داسیت، ت) برش، ث) نمونه دستی توف، ج) دیوریت، ج) کوارتز دیوریت، ح) گرانودیوریت و خ) میکرو گرانودیوریت.



شکل ۶ (الف) نمودار مجموع قلیایی نسبت به سیلیس (TAS)، (ب) نمودار نامگذاری شیمیایی سنگ‌های درونی [۱۳]، (پ) نمودار SiO_2 نسبت به $(\text{Na}_2\text{O}+\text{K}_2\text{O})$ [۱۴]، (ت) نمودار جدا کننده سری تولئیتی از سری آهکی قلیایی، (ث) نمودار پیشنهادی [۱۵]، (ج) نمودار گرانیت‌وئید‌های منطقه در گستره I قرار دارند.

در گمانه‌ها بین ۰/۰۴ (گمانه GOH,1) تا ۰/۱۳ (گمانه GOH,4) درصد (گمانه GOH,4) و عیار میانگین مولیبدن گمانه‌ها بین ۴/۵ (گمانه GOH,1) تا ۲۰/۷ گرم در تن است (گمانه GOH,4). بر اساس بررسی لاغ‌ها، مقدار عناصر سرب و روی بسیار اندک و غیر اقتصادی است.

در بررسی گمانه‌ها، فراوانی مس با مولیبدن هم خوانی مشخصی ندارند و مقدار مس با افزایش عمق به طور ترجیحی کاهش می‌یابد (شکل‌های ۷ و ۸). چنان که در نمودارهای تغییرات عیار مس دیده می‌شود، گمانه GOH,1 یک روند ثابت را نشان می‌دهد و با افزایش عمق از مقدار عیار مس کاسته

زمین‌شیمی عناصر کمیاب در گمانه‌های حفاری پهنه‌های کانی‌سازی

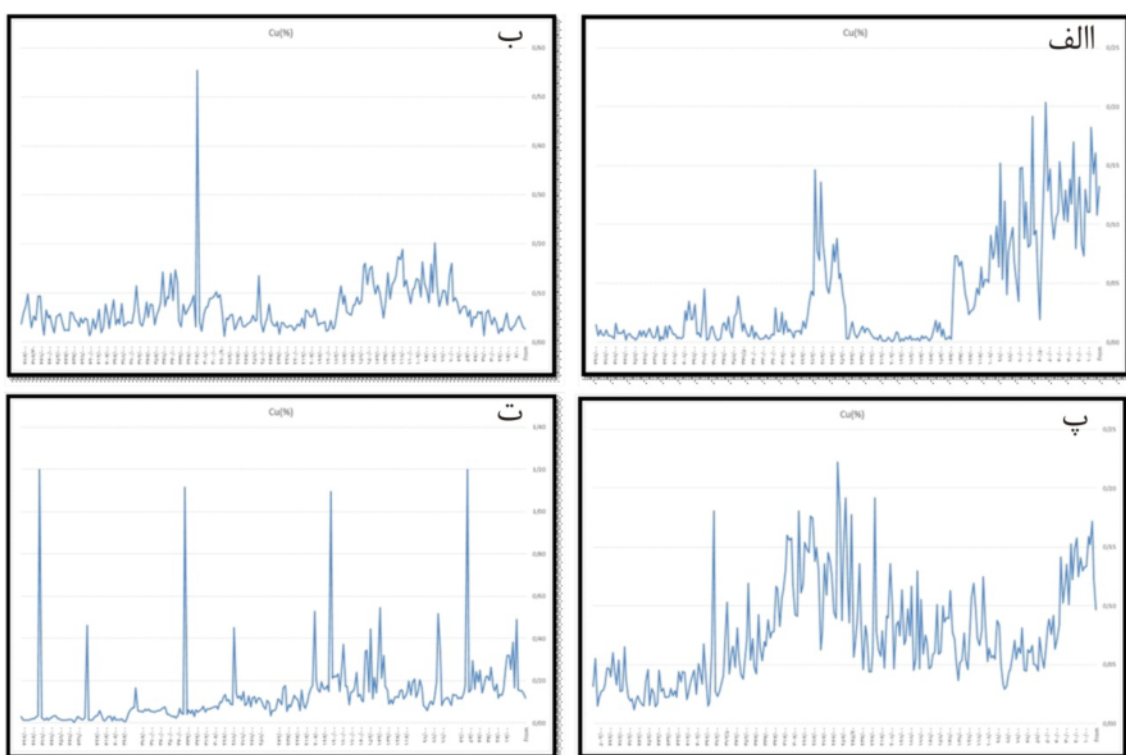
در منطقه گروه، چهار گمانه به طول کلی ۲۰۰۷ متر توسط شرکت ملی صنایع مس ایران حفاری شده است که بر اساسداده‌های آنها (лаг‌ها) کانی‌سازی در عمق بررسی شد. خلاصه نتایج تجزیه زمین‌شیمیایی در منطقه گروه برای ۵ عنصر آهن، مس، مولیبدن، سرب و روی نیز در جدول ۳ آورده شده است. بر این اساس، بیشترین مقدار مس اندازه‌گیری شده برابر با ۱/۲ درصد در گمانه GOH,4 و بیشترین مقدار مولیبدن برابر با ۸۳۴/۴ گرم در تن در گمانه GOH,4 است. عیار میانگین مس

دیده می‌شود، در بخش بیرونی این کانسارها، پهنه پروپلیتی و در بخش میانی به ترتیب پهنه‌های آرژیلیک، فیلیک و پاتاسیمی یافت می‌شود، البته بسته به نوع و سطح فرسایش به احتمال بسیار همه این پهنه‌های دگرسان در سطح زمین دیده نشوند. مناطق دگرسانی به طور معمول با کانی‌های مشخصی همراه هستند؛ در کانسارهای مس پورفیری مهم‌ترین این کانی‌ها عبارتند از کانی‌های رسی مانند کاٹولینیت و ایلیت، کانی‌های گروه اکسید آهن مانند گوتیت و هماتیت و نیز کوارتز-مگنتیت و گاهی کانی‌های کربناتی [۱۷]. در نهشته گروه به دلیل حجم بسیار و عملکرد گسترده سیال‌های دگرسان کننده، فرایندهای دگرسانی از اهمیت و گسترش قابل توجهی برخوردارند. از آنجا که ساختار سنگ در بیشتر سنگ‌های دگرسان این منطقه به خوبی حفظ شده است، بررسی مقاطع نازک در نمونه‌های برداشت شده از این واحدها، امکان تعیین شدت و نوع فرایند دگرسانی رخ داده برای آن‌ها را فراهم می‌نماید. در بررسی‌های سنگ‌نگاری، نمونه‌های مقطع نازک برداشت شده از این منطقه، افرون بر کانی‌شناسی و تعیین درصد کانی‌های اولیه و سنگ‌ساز به منظور تشخیص نام سنگ، توجه ویژه‌ای نیز به کانی‌های ثانویه و گسترش نسبی آنها شد.

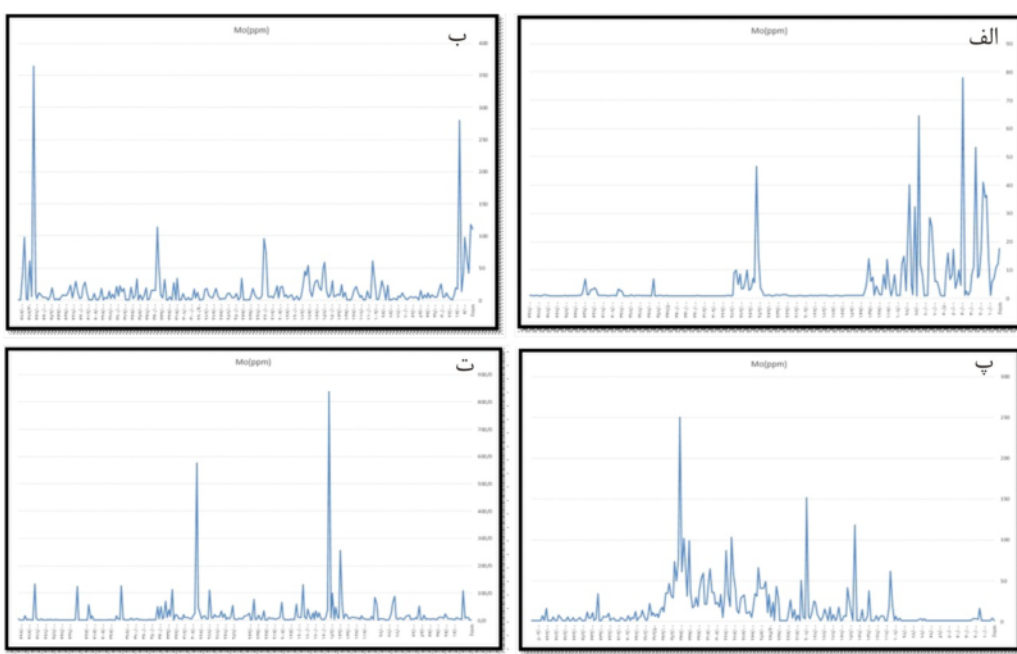
می‌شود. گمانه‌های GOH.2 و GOH.3 یک حالت سینوسی را نشان می‌دهند ولی در کل، با افزایش عمق مقدار عیار مس کاهش یابد. گمانه GOH.4 یک روند ثابت را طی می‌کند و تعدادی قله در این نمودار دیده می‌شود که نشان دهنده رگه‌های غنی از مس است. گفتگی است که بهترین عیارها در این گمانه قرار دارند. تغییرات عیار مولیبدن نسبت به عمق از هیچ قانونی پیروی نمی‌کند و در گمانه‌ها تغییرات متفاوتی را نشان می‌دهد. از نظر کانی‌سازی، مس همراه با توده گرانودیوریتی و دیوریتی است. اختلاف مشخصی بین توده‌های دیوریتی و گرانودیوریتی در مقدار عیار مس و مولیبدن وجود ندارد و اغلب در ابتدای گمانه‌ها، مقدار عیار مس در هر دو توده بالاتر است. کانی سولفیدی غالب در هر دو توده نفوذی، پیریت و به مقدار کمتر کالکوپیریت است. با بررسی لاغ‌ها می‌شود که پهنه‌های اکسیدی و برونزاد در گمانه‌های حفاری شده وجود ندارند و تنها پهنه درونزاد کم عیار در گمانه‌ها دیده می‌شود (جدول‌های ۳ و ۴).

دگرسانی در منطقه گروه

در کانسارهای پورفیری، دگرسانی بیشتر به صورت منطقه‌بندی



شکل ۷ تغییرات عیار مس نسبت به عمق در گمانه الف: GOH.4 ب: GOH.3 ت: GOH.2 پ: GOH.1



شکل ۸ تغییرات عیار مولیبدن نسبت به عمق در گمانه‌های (الف) GOH.1 (ب) GOH.2 (پ) GOH.3 و (ت) GOH.4

گسترش به نسبت بسیاری دارد و در کانسارهای بزرگ تا فاصله ۵ کیلومتری ذخیره یافت می‌شود. کانی‌های شاخص این پهنه عبارتند از کلریت، کربنات، اپیدوت، زئولیت، آلبیت و مونتموریلونیت. این دگرسانی به عنوان فراگیرترین پدیده دگرسانی در منطقه گروه شناخته می‌شود و با تغییر رنگ سنگ‌ها از خاکستری به سبز در سطح سوپرژن‌ها قابل مشاهده است. رخداد اصلی این دگرسانی در واحدهای آتشفشنانی و شواهد کمی از آن در واحدهای نفوذی دیده می‌شود. این دگرسانی به صورت دو کمربند، شمال و جنوب منطقه را در برگرفته است و در بخش‌های مرکزی وجود ندارد. دگرسانی پروپیلیتی در واحدهای این منطقه به وسیله تبدیل شدگی پلازیوکلارز به اپیدوت (شکل‌های ۹ الف، ب) و گسترش رگچه‌های کلسیتی (شکل ۹ پ) و به مقدار کمتر حضور کلریت و بیوتیت ثانویه قابل تشخیص است (شکل‌های ۹ ت و ث).

دگرسانی فیلیک

این پهنه بالای پهنه پتابسیمی قرار دارد. کانی‌های شاخص این دگرسانی شامل کوارتز، سریسیت و پیرویت هستند. این دگرسانی در سراسر منطقه گروه به صورت محلی قابل دیده بوده و در نمونه دستی با لکه‌های روشن (قالب درشت بلورهای پلازیوکلارز) نمایان است. بررسی گمانه‌های حفاری نشان می‌دهد که این دگرسانی هم پوشی شدیدی با دگرسانی پتابسیمی دارد (جدول ۴). این دگرسانی در واحدهای آندزیتی تا داسیت بسیار و در واحدهای آندزیتی و دیوریتی به مقدار کمتر دیده

درجه و شدت گسترش دگرسانی در واحدهای مختلف این منطقه متغیر است، به طوری که واحدهای آتشفشنانی به شدت دچار فرایندهای دگرسانی شده‌اند، در حالی که واحدهای نفوذی به جز میکروگرانودیوریت پورفیری تقریباً بدون دگرسانی باقی مانده‌اند. نکته شاخص در بررسی‌های دگرسانی در این منطقه، ارتباط نوع دگرسانی رخ داده در یک واحد با نوع سنگ‌شناسی آن واحد است. تغییرات سنگ‌شناسی در یک واحد یا در واحدهای مختلف در این منطقه، هر نوع دگرسانی دیده شده نیز اثر گذاشته و همزمان با تغییرات نوع‌های سنگ‌شناسی، نوع کانی‌های ثانویه و در پی آن نوع دگرسانی رخ داده نیز تغییر نموده است.

چنان که در بخش زمین‌شیمی بیان شد، در منطقه گروه ۴ گمانه به طول کلی ۲۰۰۷ متر توسط شرکت ملی صنایع مس ایران حفاری شده است. از این گمانه‌ها تعداد ۳۸ مقطع نازک برای بررسی‌های سنگنگاری تهیه شد. بر این اساس، مهمترین فرایندهای دگرسانی قابل دیده در این منطقه شامل دگرسانی‌های پروپیلیتی (با گسترش بسیار)، فیلیک، کوارتز مگنتیت (پتابسیمی)، آرژیلیک (بسیار کم) هستند که در ادامه توضیح داده می‌شوند و نتایج آن به طور خلاصه در جدول ۴ آورده شده است.

دگرسانی پروپیلیتی

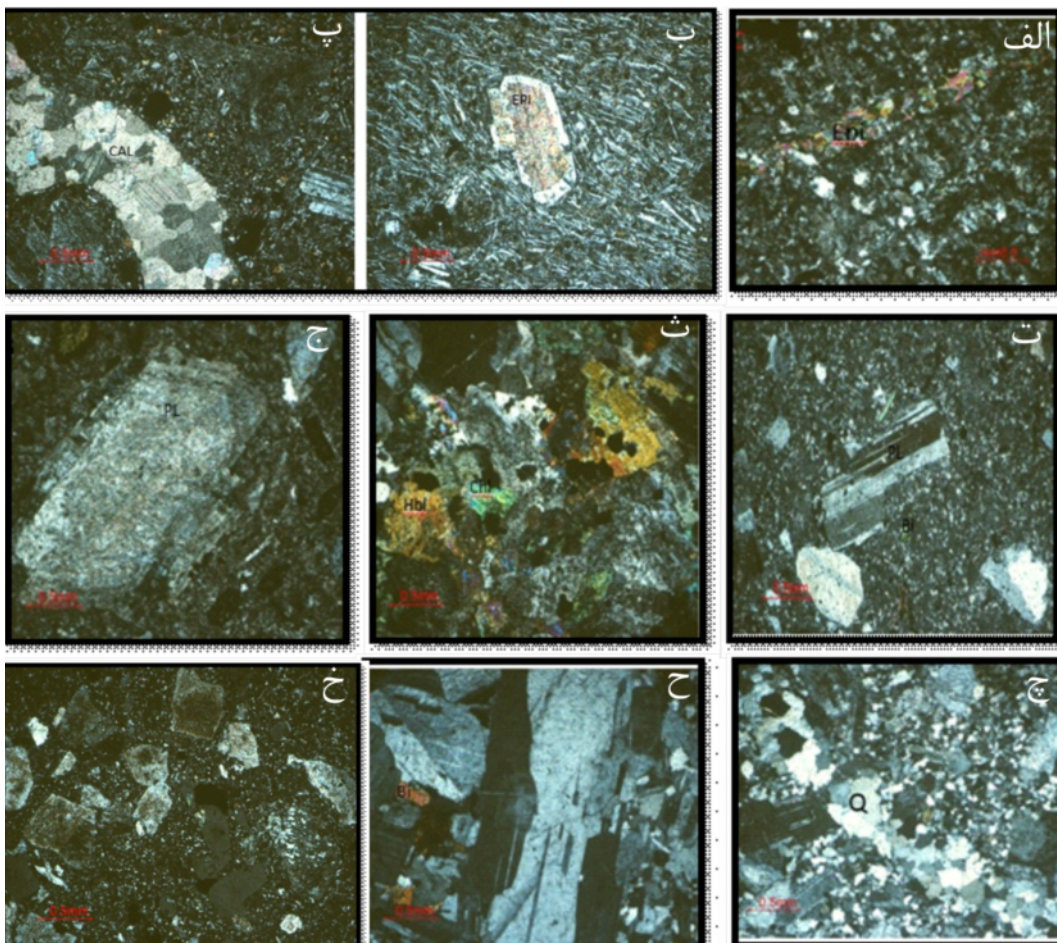
در کانسارهای مس پورفیری این پهنه از خارج پهنه‌های فیلیک، پتابسیمی و آرژیلیک را در بر می‌گیرد. این پهنه

پورفیری با توجه به حضور کانی‌های ثانویه دما بالا چون بیوتیت، دگرسانی پتابسیمی از نظر موقعیت مکانی نزدیکترین واحد دگرسانی به استوک پورفیری است (شکل ۹ ج) و تا اندازه‌ای نیز در قسمت بالایی خود توده گسترش می‌باید [۱۸، ۱۹]. این دگرسانی در منطقه گروه در واحد میکروگرانوودیوریت پورفیری گسترش یافته است. این واحد در شمال شرقی منطقه قرار دارد و دارای شواهد کانی‌سازی مس به صورت مالاکیت و کالکوبیریت است [۲۰].

می‌شود. در این پهنه، مقدار زیادی از پلازیوکلازها به سریسیت دگرسان شده‌اند (شکل ۹ ج).

دگرسانی پتابسیمی

دگرسانی پتابسیمی در بخش مرکزی کانسارهای مس پورفیری واقع است. کانی‌های مشخصه این دگرسانی شامل ارتوز، بیوتیت و کوارتز هستند. کانی‌های کدر که همراه این دگرسانی یافت می‌شوند عبارتنداز مگنتیت، کالکوبیریت، بورنیت و پیریت. در منطقه گروه، حضور رگچه کوارتز - مگنتیت نشان‌دهنده دگرسانی پتابسیمی است (شکل ۹ ج). در سامانه‌های مس



شکل ۹ (الف) حضور رگه اپیدوت که نشان‌دهنده دگرسانی پروپیلیتی در سنگ آندزیت بلورهای پلازیوکلاز که به صورت ریزسنگ در متن سنگ حضور دارند، البته به صورت درشت بلور نیز بسیار کم وجود دارند که به اپیدوت تبدیل شده‌اند. (پ) دگرسانی پروپیلیتی در سنگ تراکی آندزیت و حضور رگچه کربناتی، (ث) دگرسانی پروپیلیتی در سنگ آندزی داسیت. بیشتر پلازیوکلازها به صورت ریزسنگ و مقدار کمی به صورت درشت بلور وجود دارند و بیوتیت به صورت کانی فرعی دیده می‌شود، (ت) دگرسانی پروپیلیتی و فیلیک در سنگ گرانوودیوریت. کلریت‌های برآمده از کانی‌های مافیک نشان‌دهنده دگرسانی پروپیلیتی و سرسیستی شدن برخی از پلازیوکلازها نشان‌دهنده دگرسانی فیلیک است. هورنبلندها نیز در بعضی قسمت‌ها به کلریت تبدیل شده‌اند. (ج) دگرسانی فیلیک در آندزی داسیت. پلازیوکلازهای بسیار بزرگ تا متوسط در سنگ حضور دارند که به کانی‌های رسی دگرسان شده‌اند. (چ) دگرسانی پتابسیمی با حضور رگچه کوارتز - مگنتیت در میکروگرانوودیوریت (ح) مقطعی از گرانوودیوریت با درشت بلورهای بسیار بزرگ پلازیوکلاز و حضور بیوتیت ثانویه که نشان‌دهنده دگرسانی پتابسیمی است و (خ) دگرسانی آرژیلیک در سنگ تراکی آندزیت، بلورهای پلازیوکلاز و فلدسپار پتابسیم به کانی رسی تبدیل شده‌اند.

سولفیدی منطقه است. بر اساس بررسی‌های کانی‌نگاری، پیریت در بیشتر مقاطع به صورت مجزا در متن سنگ و در اندازه‌های کوچک تا بزرگ دیده می‌شود (شکل‌های ۱۰ ب، پ). با توجه به گسترش به نسبت قابل توجه واحد دگرسانی فیلیک در این منطقه و حضور پیریت ثانویه ناشی از دگرسانی به عنوان یکی از اجزای این نوع دگرسانی، انتظار می‌رود که حضور کانی‌سازی پیریت افسان و فاز اکسیدی و هیدروکسیدی ناشی از آن از گسترش چشمگیری برخوردار باشند که در عمل نیز چنین بوده است. عمدت‌ترین کانه‌های اکسیدی منطقه گروه مگنتیت، هماتیت و گوتیت هستند. کانی مگنتیت در مقاطع اندک حضور دارد و به نظر می‌رسد که بیشتر بلورهای مگنتیت به هماتیت تبدیل شده‌اند. مهم‌ترین کانی کربناتی در نواحی اکسایشی منطقه گروه مالاکیت است که در واحدهای آتشفسانی منطقه گروه گسترش سطحی خوبی دارد. مالاکیت در شرایط سطحی اکسایشی تشکیل می‌شود و حضور آن نشانگر وجود کانی‌های مس‌دار است (شکل ۱۱ پ). گوتیت از هیدروکسیدهای آهن است که اغلب از دگرسانی هماتیت شکل گرفته و در برخی از مقاطع به همراه هماتیت قابل دیده است (شکل ۱۰ ات).

شواهد نبود پهنه سوپرژن

با توجه به الگوی دگرسانی - کانی سازی و توده‌های نفوذی در ارتباط با آن می‌توان نتیجه گرفت که مدل کانی‌سازی منطقه گروه از نوع مس پورفیری (مدل مونزونیتی) است. منطقه گروه از برخی نظرها قابل مقایسه با سایر ذخایر شناخته شده مس پورفیری در کمربند مس کرمان است؛ از جمله شباهت‌های آن می‌توان به وجود پهنه‌های دگرسانی پتاسمی، فیلیک، آرژیلیک، پروپیلیتی و رخداد کانی‌سازی به صورت افسان و داریستی اشاره کرد. مهم‌ترین تفاوت آنها توزیع نامنظم دگرسانی‌هاست (گسترش بیش از حد دگرسانی پروپیلیتی و فیلیک نسبت به سایر دگرسانی‌ها) (شکل‌های ۱۱ الف و ب). چنان که بررسی‌های کانی‌شناسی و دگرسانی و بررسی مغزه‌های حفاری نشان می‌دهد، کانی‌سازی در منطقه گروه تا حدی متفاوت از انواع دیگر پورفیری‌های موجود در کمربند مس کرمان است، چرا که برخلاف ذخایری چون سرچشمه، میدوک و دره‌زار که شامل پهنه سوپرژن هستند [۱۸]، این پهنه در منطقه گروه گسترش چندانی ندارد و کانی‌سازی سولفیدی در عمق کمی از سطح زمین وجود دارد. کانی‌سازی مس در منطقه گروه اغلب ارتباط نزدیکی با دگرسانی پتاسمی نشان می‌دهد.

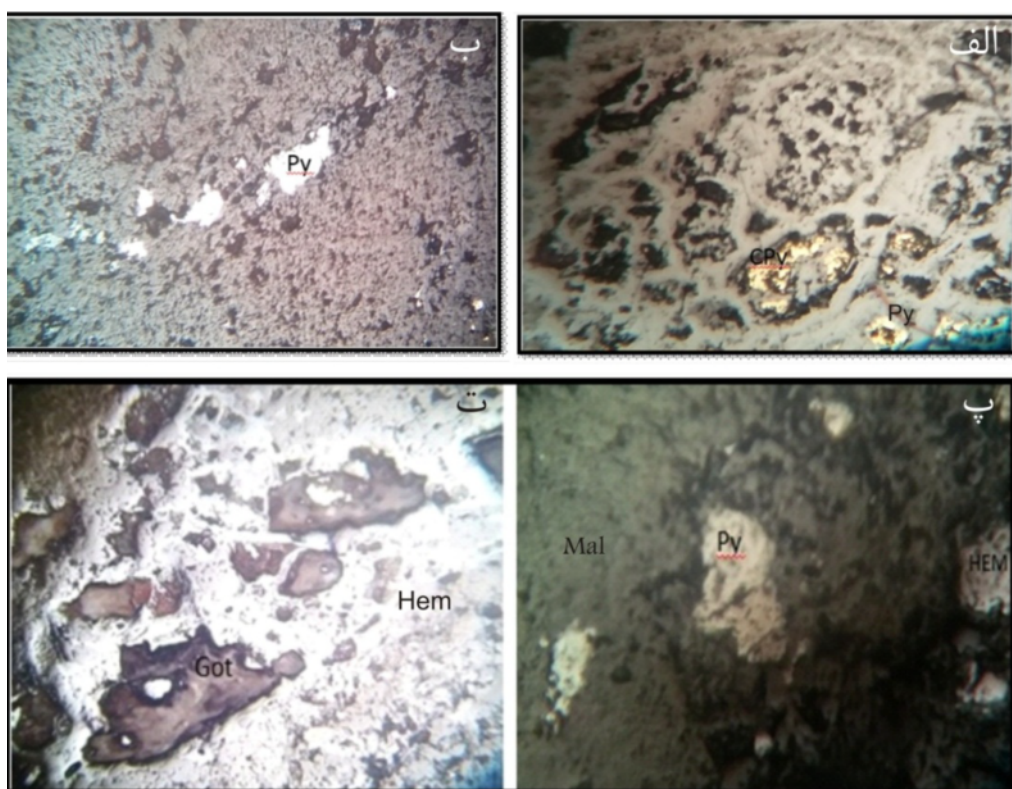
دگرسانی آرژیلیک

این پهنه در قسمت بالایی پهنه فیلیک قرار دارد. این پهنه در اثر آب کافت شدید سیلیکات‌ها توسط آبهای زیرزمینی اسیدی شکل می‌گیرد. کانی‌های شاخص این پهنه عبارتند از: کاولینیت، مونتموریلونیت، کربنات، سرسیت، پیریت و گاهی آلونیت. این دگرسانی با گسترش کانی‌های رسی در پلازیوکلازها و فلدسپارهای پتاسمی قابل شناسایی است. این دگرسانی به مقدار بسیار کم در منطقه قابل دیده است و از گسترش چندانی برخوردار نبوده و تنها در واحد تراکی آندزیت قابل دیده است (شکل ۹ خ)

کانی سازی و توالی همبازای

در این منطقه دو نوع سنگ‌شناسی وابسته به کانی‌سازی مطرح و قابل بررسی است. با توجه به ماهیت حد واسطه تا مافیک سنگ‌های آتشفسانی این منطقه، به نظر می‌رسد که حضور کانی‌سازی مس اولیه در این سنگ‌ها دیده شود. افزون بر این کانی‌سازی کم اهمیت که بیشتر به صورت آغشتگی مالاکیت در شکستگی‌های این سنگ‌های آتشفسانی دیده می‌شود، شواهدی از فازهای ثانویه بعدی از کانی‌سازی مس در این منطقه قابل دیده است که در اثر جایگزینی و تزریق توده‌های شبیه آتشفسانی و توده‌های نفوذی در عمق بوده است. حضور این توده نفوذی و شبیه آتشفسانی اگر چه منجر به فرایندهای دگرسانی به نسبت گسترهای در این منطقه شده است، اما برای کانی سازی به این صورت عمل نکرده است؛ به طوری که گسترش کانی سازی در این منطقه در مقایسه با گستره کانی‌سازی شده کنار آن، یعنی بندر هنزا، از مقدار و شدت کمتری برخوردار است.

بررسی‌های صحرایی به همراه شواهد میکروسکوپی نشان می‌دهد که کانی سازی در منطقه اغلب در دو مرحله درونزد و سوپرژن به سه صورت سولفیدی، اکسیدی و کربناتی است (جدول ۵). کانی سازی درونزد در منطقه گروه به صورت داریستی دیده می‌شود. کانه‌های سولفیدی غالب در منطقه گروه شامل کالکوپیریت و پیریت هستند. کالکوپیریت کانی اصلی مس در منطقه است. این کانی فقط در بخش کوچکی از در شمال شرقی منطقه در واحد میکرو گرانودیوریت پورفیری یافت می‌شود. این کانی به صورت پراکنده در اندازه‌های کوچک و بزرگ دیده می‌شود. ارتباط ویژه‌ای بین پیریت و کالکوپیریت در این مقطع وجود ندارد و دانه‌های پیریت در کنار کالکوپیریت قرار گرفته‌اند (شکل ۱۰ الف). پیریت فراوان‌ترین کانی



شکل ۱۰ مقطع صیقلی (الف) کالکوپیریت و پیریت، (ب) پیریت، (پ) پیریت، هماتیت و مالاگیت و (ت) هماتیت و گوتیت



شکل ۱۱ الف: دگرسانی پروپیلیتی با حضور اپیدوت، ب) واحد آندزیتی با دگرسانی فیلیک و کانی سازی پیریت و اکسید آهن، پ) واحد میکروگرانوودیوریت پورفیری با ساخت داربستی و (ت) واحد تراکی آندزیت با کانی سازی سطحی مالاکیت.

جدول ۵ مراحل تشکیل و توالی همبزایی کانی‌ها در منطقه گروه

کانی	کانی‌ها	هیپوژن	سوپرژن	
			سولفید	اکسید
کانه	پیریت	—	—	—
	کالکوپیریت	—	—	—
	مگنتیت	—	—	—
	هماتیت	—	—	—
	مالاکیت	—	—	—
	هیدروکسیدهای آهن	—	—	—
	گوتیت	—	—	—
باطله	کوارتز	—	—	—
	فلدسبار	—	—	—
	بووتیت	—	—	—
	اپیدوت	—	—	—
	کلریت	—	—	—
	سریسیت	—	—	—
	کلسیت	—	—	—

در نتیجه کمبود کانی‌سازی سطحی در منطقه را می‌توان به ناهمواری خشن و بالا بودن سطح آب زیرزمینی نسبت داد. ارتفاع منطقه از سطح دریا بسیار است و همچنین اختلاف ارتفاع (اختلاف بلندترین با کوتاهترین نقطه) در منطقه ۶۵۴ متر است که این اختلاف ارتفاع نشان‌دهنده فرسایش زیاد است، این فرسایش باعث انتقال و شست و شوی مس شده است. رخنمون دگرسانی پتانسیمی در سطح نشان دهنده ناهمواری خشن، بالا آمدگی و فرسایش شدید است که باعث انتقال مس به مناطق پایین دست شده است. همچنین نبود پهنه سوپرژن را با بالا بودن سطح آب زیرزمینی می‌توان توجیه کرد. به علت بالا بودن سطح آب زیرزمینی مس به طور کامل احیا نشده و این مس به همراه حرکت آب زیرزمینی منتقل شده و پهنه سوپرژن ایجاد نشده است. البته نبود پهنه سوپرژن می‌تواند به دلیل بالا آمدگی و فرسایش شدید نیز باشد. در نتیجه فرسایش، فرصت کافی برای شست و شو و نهشت دوباره مس به صورت سوپرژن فراهم نشده است.

برداشت

نتایج برآمده از بررسی‌های صحرایی و سنگشناسی نشان می‌دهد که در منطقه گروه سنگ‌های آتش‌نشانی شامل آندزیت، آندزی - بازالت، تراکی آندزیت و آندزیت - داسیت است و کانه‌سازی در این واحدها به دلیل بالا بودن مقدار مس در

کانی‌سازی درونزد در منطقه گروه به صورت داربستی دیده می‌شود (شکل ۱۱ پ). رخنمون دگرسانی پتانسیمی و پستی و بلندی شدید می‌تواند نشانگر اثر بالا آمدگی و فرسایش شدید منطقه باشد، که باعث انتقال مس به مناطق پایین دست شده است [۲۱]. در نتیجه این فرسایش، فرصت کافی برای شستشو و نهشت دوباره مس به صورت سوپرژن فراهم نشده است. از دلایل دیگر می‌توان به بالا بودن سطح آب زیرزمینی اشاره کرد که مس‌های شسته شده که به سطح آب زیرزمینی برخورد کرده‌اند به طور کامل احیا نشده‌اند و در نتیجه مس ته‌نشین نشده و غنی‌سازی برونزد نیز رخ نداده است [۲۲-۲۴]. فراوانی گوتیت نشان‌دهنده نسبت پیریت به کالکوپیریت، کم درجه اسیدی پایین و مقدار سولفید کل پایین در سنگ میزان مس پورفیری است و همه اینها شواهدی منفی برای غنی‌شدنگی ثانویه سولفیدی هستند [۲۱]. به طور محلی آثار اکسایش کانه‌های سولفیدی اولیه به صورت آغشتگی سطحی مالاکیت در سطح و در راستای شکستگی‌ها دیده می‌شود که نشان-دهنده نبود محلول اسیدی سوپرژن برای شستشوی کامل مس از بخش‌های بالایی و بازندهشت آن در زیر سفره آب است (شکل ۱۱ ت) [۲۵]. بنابراین، پهنه سوپرژن در منطقه گروه، در مقایسه با اغلب پورفیری‌های شناخته شده در کمربند دهنج - ساردوئیه گسترش ندارد. به طور خلاصه نبود پهنه سوپرژن و

Located in South of Dehaj-Sarduiyeh Zone, using ASTER Data(in Persian) ", Iranian Journal of Remote Sencing & GIS 2 (2013) 53-64.

[5] Ravankhah A., Moayyed m., Amini S., "Studies of Geology , Petrology , Economic geology and Alteration zones in porphyry copper deposit of Dare-zar (south west of Kerman) (in Persian)", Iranian Journal of Geology 12 (2010) 63-76.

[6] Ahmadi moghdam P., Ahmadi pour H., "Geochemistry and petrogenesis of the Cheheltan Mountain volcanic rocks; south-west of Bardsir (Kerman Province) (in Persian)", Iranian Journal of Crystallography and Mineralogy 1 (2014) 37-48.

[7] Taghipour N., Aftabi A., and Mathur R., "Geology and Re-Os Geochronology of Mineralization of the Miduk Porphyry Copper Deposit", Resource Geology 2 (2008) 143–160.

[8] Chekanimoghadam M., Tahmasbi Z., Ahmadi Khalaji A., "Mineralogy, geochemistry and origin of Baft northeast volcanic rocks (south Kerman): Evidence for volcanic arc magmatism in Uromieh-Dokhtar magmatic belt (in Persian)", Iranian Journal of Crystallography and Mineralogy 4 (2017) 743-760.

[9] Safiei B., "Lead igneous rocks and porphyry copper deposit from the Kerman Cenozoic magmatic arc(SE Iran), and their magmatic – metallogenetic implications", ore geology reviews 23 (2010) 27-36.

[10] Dimitrijevic M. D., "Geology of Kerman region", geology survey of Iran (1973).

[11] Berberian, M; King, g . c. p., "Toward a paleogeography and tectonic evolution of Iran", Earth science.18(1981) 215 – 265.

[12] Sahaabpour J., "Tectonic evolution of the orogenic belt in the region located between Kerman and Neyriz", Jurnal of Asian Earth science 24 (2005) 405 – 417.

[13] Le Bas. M. J., Le Maitre W., Streckeisen A., Zanettin B., "The classification of the volcanic rocks based on the total alkali-silica diagram", Journal of Petrology, 27 (1986) 745-750.

[14] Irvin T. N., Baragar W. R. A., "A guide to the chemical classification of the common volcanic rocks", Canadian. Jour. Eart. Sci., 8(1971)523-548.

[15] Chappell B.W., white A.J.R., "Two contrasting granite types", Pasific Geol, 8 (1983) 173- 174.

ماگمای اولیه، به صورت پوشش سطحی ملاکیت در سطح و شکستگی‌های این سنگ‌های آتشفشانی دیده می‌شود. واحدهای نفوذی شامل دیوریت، کوارتز دیوریت، گرانو دیوریت و میکرو گرانو دیوریت پورفیری است و کانه‌زایی فقط در واحد میکرو گرانو دیوریت پورفیری در انتهای شمال شرقی منطقه به صورت داربستی وجود دارد. از نظر کانی‌سازی، عیار میانگین مس گمانه‌ها ۰,۰۴ تا ۰,۱۳ درصد و عیار میانگین مولیبدن آنها ۴,۵ تا ۲۰,۷ گرم در تن است. اختلاف مشخصی بین توده‌های دیوریتی و گرانو دیوریتی در مقدار عیار مس و مولیبدن وجود ندارد و اغلب در ابتدای گمانه‌ها، مقدار عیار مس در هر دو توده بالاتر است. این کانی‌سازی به صورت درونزد است و ارتباط نزدیکی با دگرسانی پتاسیمی نشان می‌دهد. پهنه‌های دگرسانی اصلی در کانسارهای مس پورفیری در نهشته معدنی گروه دیده می‌شوند. دگرسانی پروپیلیتی گسترش بسیاری دارد و پهنه‌های پتاسیمی، فیلیک و آرزیلیک دارای حجم کمتری هستند. رخمنون دگرسانی پتاسیمی و ناهمواری شدید می‌تواند بیانگر اثر بالآمدگی و فرسایش شدید بر منطقه باشد که موجب گسترش نیافتن پهنه سوپرژن در منطقه گروه شده است.

قدرتدانی

این پژوهش با حمایت‌های مالی شرکت ملی صنایع مس ایران انجام گرفته است که نگارندگان کمال تشکر را از ایشان دارند.

مراجع

[1] Shafiei B., Haschke M. Shahabpour J., "Recycline of orogenic arc crust triggers porphyry Cu mineralization in Kerman Cenozoic arc rocks south eastern Iran": Mineralization deposit 44(2009) 265 – 283.

[2] Dorany M., Moradayan A., "Geochemical and tectonomagmatic investigation of gabbros in southwest of Shahr-Babak, Kerman province (in Persian)", Iranian Journal of Crystallography and Mineralogy 1 (2007) 193-210.

[3] Alirezaie A., Alyani F., Moradian A., "The study of petrography, geochemical characteristics and tectono magmatic setting of Meiduk porphyry copper deposit, Shahrebabak- Kerman (in Persian)", Iranian Journal of Crystallography and Mineralogy 3 (2012) 441-454.

[4] Mohebi A ., Behzadi M ., Mirnejad H., Taghizadeh H., "Identifying Areas of Copper Porphyry Alteration Haloes in Hanza Mountain

- leached capping for estimation of supergene enrichment in porphyry copper deposits (in Persian)", Iranian Journal of Geology 10 (2010) 85-96.*
- [22] Asadi S., Moore F., Zarasvandi A., "Discriminating productive and barren porphyry copper deposits in the southeastern part of the central Iranian volcano-plutonic belt, Kerman region, Iran", A review. Earth-Science Reviews, 138 (2014) 25-46.
- [23] Sillito R. H., "Supergene oxidized and enriched porphyry copper and related deposit", Economic Geology (2005), 723-768.
- [24] Sillito R. H., "Porphyry copper systems", Economic geology, 105(2010) 3-41.
- [25] Hezarkhani A., Williams-Jones A. E., "Controls of alteration and mineralization in the Sungun porphyry copper deposit, Iran: Evidence from fluid inclusion and stable isotopes", Economic Geology, 93(1998) 651–670.
- [16] Maniar P. D., Piccoli P. M., "Tectonic discrimination of granitoids", Geo. Soc. Am. Bull, 101(1989) 635-643.
- [17] Ranjbar H., Shahriari H., "Comparison of ETM+ and ASTER data for hydrothermal alteration mapping in the central part of the Dehaj-Sarduyeh belt, Kerman Province (in Persian)", Iranian Journal of Crystallography and Mineralogy 2 (2006) 367-382.
- [18] Hezarkhani A., "Hydrothermal evolution of the Sar-Cheshmeh porphyry Cu-Mo deposit, Iran: evidence from fluid inclusions", Journal of Asian Earth Sciences 28(2006) 409-422.
- [19] McMillan W. J., Panteleyev A., "Porphyry Copper Deposits, in Roberts, R.G, and Sheahan, P.A, (eds.)", Geoscience Canada, Reprint Series 3(1986), 194.
- [20] Sinclair W. D., "Porphyry deposit, Mineral deposit of Canada", Geological association of Canada special publication 5 (2007).223-243.
- [21] Hosseinzadeh GH., Mouayed M., Esfahanpour R., "Supergene processes in Sonajil porphyry copper deposit with respect to using of